| Calcolo Numerico ed Elementi di | Prof. L. Dedè       | Firma leggibile dello studente |  |
|---------------------------------|---------------------|--------------------------------|--|
| Analisi                         | Prof. A. Manzoni    |                                |  |
| CdL Ingegneria Aerospaziale     | Prof. S. Micheletti |                                |  |
| Appello                         |                     |                                |  |
| <del>09 luglio 2018</del>       |                     |                                |  |
| Cognome:                        | Nome:               | Matricola:                     |  |
|                                 |                     |                                |  |
|                                 |                     |                                |  |
|                                 |                     |                                |  |

### **ISTRUZIONI**

- Riportare le risposte nello spazio indicato.
- Alcuni esercizi richiedono di utilizzare MATLAB; per tali esercizi riportare sul foglio esclusivamente gli output richiesti.
- Utilizzare esclusivamente una penna nera o blu.
- Tempo a disposizione: 3h.

### SPAZIO RISERVATO AL DOCENTE

|             | PART | FI   |   |
|-------------|------|------|---|
| Pre Test    | .,,  |      |   |
| Esercizio 1 |      |      |   |
| Esercizio 2 |      |      |   |
| Totale      |      |      |   |
|             | PART | E II |   |
| Pre Test    |      |      |   |
| Esercizio 1 |      |      |   |
| Esercizio 2 |      |      |   |
| Totale      |      |      |   |
|             | FINA | LE   | 1 |
|             |      |      |   |

## Parte I - Pre Test

**1.** (2 punti) Si consideri la matrice  $A = \begin{bmatrix} 1 & -1 & 1 \\ 0 & 6 & 1 \\ 3 & 5 & 0 \end{bmatrix}$  e si determini la sua fattorizzazione LU senza pivoting. Riportare il valore dell'elemento  $u_{33} = (U)_{33}$  della matrice triangolare



LU senza pivoting. Riportare il valore dell'elemento  $u_{33} = (U)_{33}$  della matrice triangolar superiore U.

$$u_{33} = -\frac{13}{3}$$

2. (1 punto) Si consideri un metodo diretto per risolvere il sistema lineare  $A\mathbf{x} = \mathbf{b}$  con  $A \in \mathbb{R}^{n \times n}$  invertibile e  $n \geq 1$ . Sapendo che il numero di condizionamento di  $A \in K_2(A) = 10^7$ ,  $\|\mathbf{b}\| = 10^1$  e il residuo  $\mathbf{r} \in \mathbb{R}^n$  calcolato usando la soluzione approssimata  $\hat{\mathbf{x}}$  ha norma  $\|\mathbf{r}\| = 10^{-8}$ , si stimi l'errore relativo  $e_{rel} = \frac{\|\hat{\mathbf{x}} - \mathbf{x}\|}{\|\mathbf{x}\|}$ .

$$e_{rel} \le 10^{-2} = 0.01$$

**3.** (2 punti) Si consideri il sistema lineare  $A\mathbf{x} = \mathbf{b}$  dove  $\mathbf{b} = (1 \ 1)^T$  e  $A = \begin{bmatrix} 4 & 4 \\ 4 & 5 \end{bmatrix}$ . Assegnato  $\mathbf{x}^{(0)} = (1 \ 1)^T$  si riporti la prima iterata  $\mathbf{x}^{(1)}$  del metodo di Jacobi.

$$\mathbf{x}^{(1)} = (-0.75 \ -0.6)^T$$

**4.** (2 punti) Si consideri la funzione  $f(x) = e^{(8/7-x)} - 1$  con un unico zero  $\alpha$  e il metodo di bisezione per la sua approssimazione. Senza applicare esplicitamente il metodo, si *stimi* l'errore commesso dopo k=6 iterazioni partendo dall'intervallo iniziale [0,4].

$$|x^{(k)} - \alpha| \le 0.03125$$

**5.** (1 punto) Si consideri la funzione  $f(x) = 5 \tan(2x)$  e il metodo di Newton per l'approssimazione dello zero  $\alpha = 0$ . Si riporti il valore della prima iterata  $x^{(1)}$  del metodo assumendo l'iterata iniziale  $x^{(0)} = \pi/8$ .

$$x^{(1)} = \frac{\pi - 2}{8} = 0,142699$$

**6.** (1 punto) Si consideri la funzione  $f(x) = 3 \log(x) \sin(\pi x)$  e il metodo di Newton per l'approssimazione dello zero  $\alpha = 1$ . Qual è l'ordine convergenza p atteso dal metodo per lo zero  $\alpha$  assumendo l'iterata iniziale  $x^{(0)}$  "sufficientemente" vicino ad  $\alpha$ ?

$$p = 1$$

7. (1 punto) Si consideri la funzione di iterazione  $\phi(x) = x^2 / (2x - 5)$  e il metodo delle iterazioni di punto fisso per l'approssimazione del punto fisso  $\alpha = 5$ . Si riporti il valore della prima iterata  $x^{(1)}$  del metodo assumendo l'iterata iniziale  $x^{(0)} = 20/3$ .

$$x^{(1)} = \frac{16}{3} = 5{,}333\,333$$

# Parte I - Esercizi

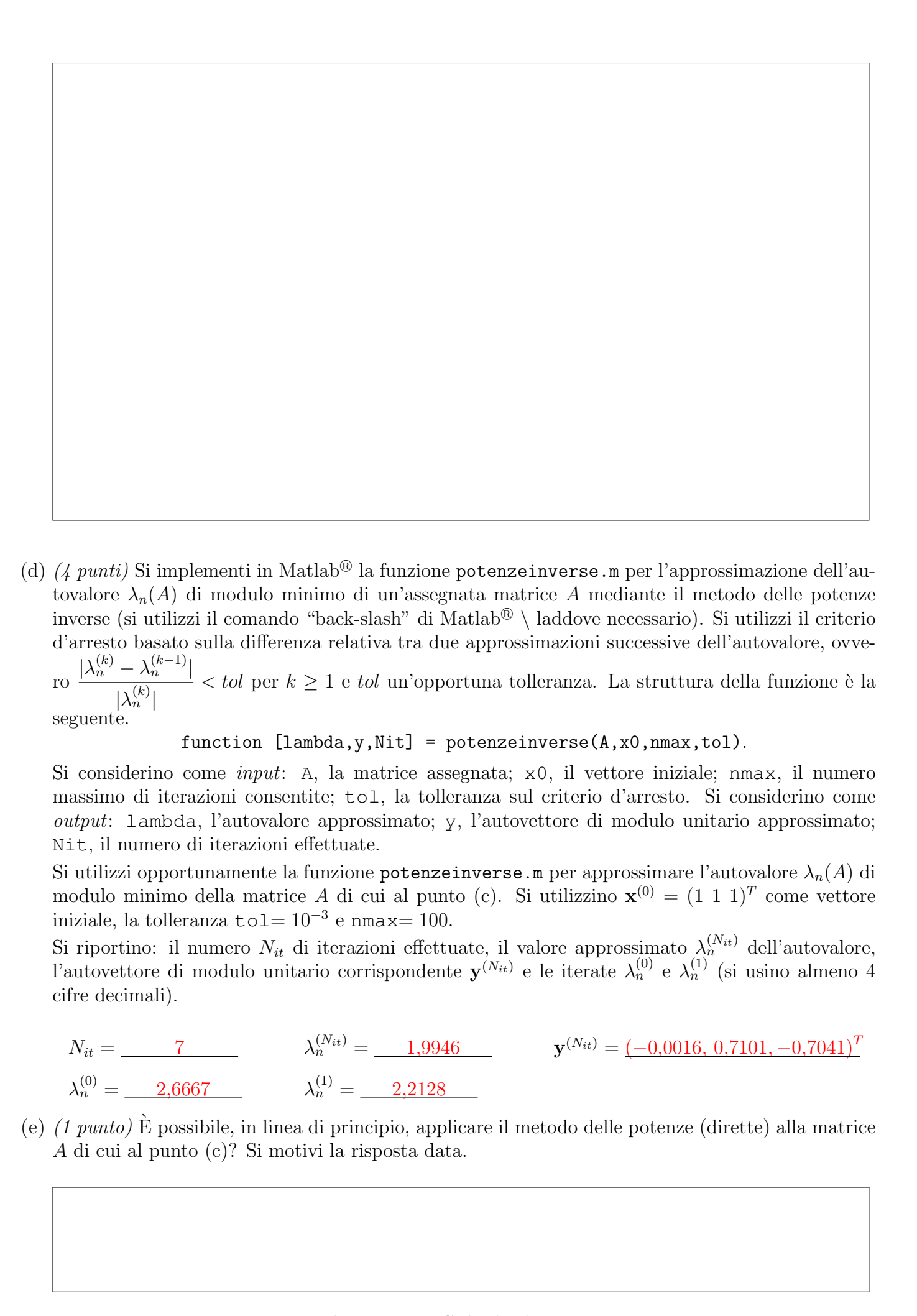
10 punti

|  | ritmo (non i |                             | o <sup>®</sup> ) del metodo<br>tazione utilizzat |  |
|--|--------------|-----------------------------|--------------------------------------------------|--|
|  |              | = <b>b</b> ; si delim       |                                                  |  |
|  |              | = <b>D</b> ; si delilli<br> |                                                  |  |
|  |              | = <b>b</b> ; si deimi       |                                                  |  |
|  |              | = <b>b</b> ; si deiiiii     |                                                  |  |
|  |              | = <b>b</b> ; si delimi      |                                                  |  |

|                                                                                                                                 | $e A \mathbf{x} = \mathbf{b} \operatorname{si}$                                | conside                                                                                                                                                                                                                                                                                                                                                                                                                                                                                                                                                                                                                                                                                                                                                                                                                                                                                                                                                                                                                                                                                                                                                                                                                                                                                                                                                                                                                                                                                                                                                                                                                                                                                                                                                                                                                                                                                                                                                                                                                                                                                                                                                                                                                                                                                                                                                                                                                                                                                                                                                                | ermo ora <i>i</i>                                             | i = 30                                          | $, \mathbf{b} =$                              | (1,1,.                 | $\dots, \perp)$    | е                            |
|---------------------------------------------------------------------------------------------------------------------------------|--------------------------------------------------------------------------------|------------------------------------------------------------------------------------------------------------------------------------------------------------------------------------------------------------------------------------------------------------------------------------------------------------------------------------------------------------------------------------------------------------------------------------------------------------------------------------------------------------------------------------------------------------------------------------------------------------------------------------------------------------------------------------------------------------------------------------------------------------------------------------------------------------------------------------------------------------------------------------------------------------------------------------------------------------------------------------------------------------------------------------------------------------------------------------------------------------------------------------------------------------------------------------------------------------------------------------------------------------------------------------------------------------------------------------------------------------------------------------------------------------------------------------------------------------------------------------------------------------------------------------------------------------------------------------------------------------------------------------------------------------------------------------------------------------------------------------------------------------------------------------------------------------------------------------------------------------------------------------------------------------------------------------------------------------------------------------------------------------------------------------------------------------------------------------------------------------------------------------------------------------------------------------------------------------------------------------------------------------------------------------------------------------------------------------------------------------------------------------------------------------------------------------------------------------------------------------------------------------------------------------------------------------------------|---------------------------------------------------------------|-------------------------------------------------|-----------------------------------------------|------------------------|--------------------|------------------------------|
| $A = \frac{3}{2} n I + C,  \text{dove } C$                                                                                      | $= \begin{bmatrix} n \\ -n \\ 5 \end{bmatrix}$                                 | $ \begin{array}{c} -n \\ (n-1) \\ -n \\ \vdots $                                                                                                                                                                                                                                                                                                                                                                                                                                                                                                                                                                                                                                                                                                                                                                                                                                                                                                                                                                                                                                                                                                                                                                                                                                                                                                                                                                                                                                                                                                                                                                                                                                                                                                                                                                                                                                                                                                                                                                                                                                                                                                                                                                                                                                                                                                                                                                                                                                                                                                                       | 5 -n (n-2)                                                    | $ 5 -n $ $ \cdot \cdot . $                      | 5<br>··.                                      | ٠.                     |                    | $\in \mathbb{R}^{n 	imes n}$ |
| 2                                                                                                                               |                                                                                |                                                                                                                                                                                                                                                                                                                                                                                                                                                                                                                                                                                                                                                                                                                                                                                                                                                                                                                                                                                                                                                                                                                                                                                                                                                                                                                                                                                                                                                                                                                                                                                                                                                                                                                                                                                                                                                                                                                                                                                                                                                                                                                                                                                                                                                                                                                                                                                                                                                                                                                                                                        | 5                                                             | -n $5$                                          | $ \begin{array}{c} 3 \\ -n \\ 5 \end{array} $ | -n $2$ $-n$            | $5\\-n\\1$         |                              |
| e $I \in \mathbb{R}^{n \times n}$ è la matrice identit con i dati precedenti motivano                                           | à. Si discuta                                                                  | ano le p                                                                                                                                                                                                                                                                                                                                                                                                                                                                                                                                                                                                                                                                                                                                                                                                                                                                                                                                                                                                                                                                                                                                                                                                                                                                                                                                                                                                                                                                                                                                                                                                                                                                                                                                                                                                                                                                                                                                                                                                                                                                                                                                                                                                                                                                                                                                                                                                                                                                                                                                                               | roprietà d                                                    | i conve                                         | ergenz                                        | a del r                | netodo             | del gradien                  |
|                                                                                                                                 |                                                                                |                                                                                                                                                                                                                                                                                                                                                                                                                                                                                                                                                                                                                                                                                                                                                                                                                                                                                                                                                                                                                                                                                                                                                                                                                                                                                                                                                                                                                                                                                                                                                                                                                                                                                                                                                                                                                                                                                                                                                                                                                                                                                                                                                                                                                                                                                                                                                                                                                                                                                                                                                                        |                                                               |                                                 |                                               |                        |                    |                              |
|                                                                                                                                 |                                                                                |                                                                                                                                                                                                                                                                                                                                                                                                                                                                                                                                                                                                                                                                                                                                                                                                                                                                                                                                                                                                                                                                                                                                                                                                                                                                                                                                                                                                                                                                                                                                                                                                                                                                                                                                                                                                                                                                                                                                                                                                                                                                                                                                                                                                                                                                                                                                                                                                                                                                                                                                                                        |                                                               |                                                 |                                               |                        |                    |                              |
|                                                                                                                                 |                                                                                |                                                                                                                                                                                                                                                                                                                                                                                                                                                                                                                                                                                                                                                                                                                                                                                                                                                                                                                                                                                                                                                                                                                                                                                                                                                                                                                                                                                                                                                                                                                                                                                                                                                                                                                                                                                                                                                                                                                                                                                                                                                                                                                                                                                                                                                                                                                                                                                                                                                                                                                                                                        |                                                               |                                                 |                                               |                        |                    |                              |
|                                                                                                                                 |                                                                                |                                                                                                                                                                                                                                                                                                                                                                                                                                                                                                                                                                                                                                                                                                                                                                                                                                                                                                                                                                                                                                                                                                                                                                                                                                                                                                                                                                                                                                                                                                                                                                                                                                                                                                                                                                                                                                                                                                                                                                                                                                                                                                                                                                                                                                                                                                                                                                                                                                                                                                                                                                        |                                                               |                                                 |                                               |                        |                    |                              |
|                                                                                                                                 |                                                                                |                                                                                                                                                                                                                                                                                                                                                                                                                                                                                                                                                                                                                                                                                                                                                                                                                                                                                                                                                                                                                                                                                                                                                                                                                                                                                                                                                                                                                                                                                                                                                                                                                                                                                                                                                                                                                                                                                                                                                                                                                                                                                                                                                                                                                                                                                                                                                                                                                                                                                                                                                                        |                                                               |                                                 |                                               |                        |                    |                              |
|                                                                                                                                 |                                                                                |                                                                                                                                                                                                                                                                                                                                                                                                                                                                                                                                                                                                                                                                                                                                                                                                                                                                                                                                                                                                                                                                                                                                                                                                                                                                                                                                                                                                                                                                                                                                                                                                                                                                                                                                                                                                                                                                                                                                                                                                                                                                                                                                                                                                                                                                                                                                                                                                                                                                                                                                                                        |                                                               |                                                 |                                               |                        |                    |                              |
|                                                                                                                                 |                                                                                |                                                                                                                                                                                                                                                                                                                                                                                                                                                                                                                                                                                                                                                                                                                                                                                                                                                                                                                                                                                                                                                                                                                                                                                                                                                                                                                                                                                                                                                                                                                                                                                                                                                                                                                                                                                                                                                                                                                                                                                                                                                                                                                                                                                                                                                                                                                                                                                                                                                                                                                                                                        |                                                               |                                                 |                                               |                        |                    |                              |
| (3 punti) Si consideri ora il r                                                                                                 | metodo del                                                                     | gradien                                                                                                                                                                                                                                                                                                                                                                                                                                                                                                                                                                                                                                                                                                                                                                                                                                                                                                                                                                                                                                                                                                                                                                                                                                                                                                                                                                                                                                                                                                                                                                                                                                                                                                                                                                                                                                                                                                                                                                                                                                                                                                                                                                                                                                                                                                                                                                                                                                                                                                                                                                | te nrecono                                                    | dizion a                                        | to ne                                         | r la so                | oluzion            | o dol siston                 |
| lineare $A \mathbf{x} = \mathbf{b}$ di cui al punto                                                                             | o (c) con la                                                                   | _                                                                                                                                                                                                                                                                                                                                                                                                                                                                                                                                                                                                                                                                                                                                                                                                                                                                                                                                                                                                                                                                                                                                                                                                                                                                                                                                                                                                                                                                                                                                                                                                                                                                                                                                                                                                                                                                                                                                                                                                                                                                                                                                                                                                                                                                                                                                                                                                                                                                                                                                                                      | -                                                             |                                                 | _                                             |                        | orazion            | e dei sisten                 |
| lineare $A \mathbf{x} = \mathbf{b}$ di cui al punto                                                                             | ,                                                                              | matrice                                                                                                                                                                                                                                                                                                                                                                                                                                                                                                                                                                                                                                                                                                                                                                                                                                                                                                                                                                                                                                                                                                                                                                                                                                                                                                                                                                                                                                                                                                                                                                                                                                                                                                                                                                                                                                                                                                                                                                                                                                                                                                                                                                                                                                                                                                                                                                                                                                                                                                                                                                | -                                                             | dizion                                          | _                                             |                        | 71421011           | e dei sisten                 |
| dipendente da un parametro $\beta$ mente tramite Matlab <sup>®</sup> il valo a $\mathbf{x}$ . Indicato con $\beta^*$ tale valor | $P = \text{tridi}$ $\beta \text{ tale per cui}$ $\text{ore di } \beta \in [2]$ | matrice $iag(-1, isia sim 4,4]$ che s                                                                                                                                                                                                                                                                                                                                                                                                                                                                                                                                                                                                                                                                                                                                                                                                                                                                                                                                                                                                                                                                                                                                                                                                                                                                                                                                                                                                                                                                                                                                                                                                                                                                                                                                                                                                                                                                                                                                                                                                                                                                                                                                                                                                                                                                                                                                                                                                                                                                                                                                  | di precon $\beta, -1) \in$ metrica e garantisce               | dizion $\mathbb{R}^{n \times n}$ definit la con | amen<br>a pos                                 | to<br>itiva.<br>nza pi | Si dete<br>ù rapid | rmini grafic<br>la del metod |
| dipendente da un parametro $\beta$ mente tramite Matlab <sup>®</sup> il valo                                                    | $P = \text{tridi}$ B tale per cui  ore di $\beta \in [2]$ re, lo si ripor      | matrice $(-1, \frac{1}{4})$ is single $(-1, \frac{1}{4})$ is single $(-1, \frac{1}{4})$ is single $(-1, \frac{1}{4})$ is single $(-1, \frac{1}{4})$ in $(-1, \frac{1}{4})$ | di precon $\beta, -1) \in$ metrica e garantisce               | dizion $\mathbb{R}^{n \times n}$ definit la con | amen<br>a pos                                 | to<br>itiva.<br>nza pi | Si dete<br>ù rapid | rmini grafic                 |
| dipendente da un parametro $\beta$ mente tramite Matlab <sup>®</sup> il valo a $\mathbf{x}$ . Indicato con $\beta^*$ tale valor | $P = \text{tridi}$ B tale per cui  ore di $\beta \in [2]$ re, lo si ripor      | matrice $(-1, \frac{1}{4})$ is single $(-1, \frac{1}{4})$ is single $(-1, \frac{1}{4})$ is single $(-1, \frac{1}{4})$ is single $(-1, \frac{1}{4})$ in $(-1, \frac{1}{4})$ | di precon $\beta, -1) \in$ metrica e garantisce riustifichi i | dizion $\mathbb{R}^{n \times n}$ definit la con | amen<br>a pos                                 | to<br>itiva.<br>nza pi | Si dete<br>ù rapid | rmini grafic<br>la del metod |
| dipendente da un parametro $\beta$ mente tramite Matlab <sup>®</sup> il valo a $\mathbf{x}$ . Indicato con $\beta^*$ tale valor | $P = \text{tridi}$ B tale per cui  ore di $\beta \in [2]$ re, lo si ripor      | matrice $(-1, \frac{1}{4})$ is single $(-1, \frac{1}{4})$ is single $(-1, \frac{1}{4})$ is single $(-1, \frac{1}{4})$ is single $(-1, \frac{1}{4})$ in $(-1, \frac{1}{4})$ | di precon $\beta, -1) \in$ metrica e garantisce riustifichi i | dizion $\mathbb{R}^{n \times n}$ definit la con | amen<br>a pos                                 | to<br>itiva.<br>nza pi | Si dete<br>ù rapid | rmini grafic<br>la del metod |
| dipendente da un parametro $\beta$ mente tramite Matlab <sup>®</sup> il valo a $\mathbf{x}$ . Indicato con $\beta^*$ tale valor | $P = \text{tridi}$ B tale per cui  ore di $\beta \in [2]$ re, lo si ripor      | matrice $(-1, \frac{1}{4})$ is single $(-1, \frac{1}{4})$ in $(-1, \frac{1}{4})$ in $(-1, \frac{1}{4})$ in $(-1, \frac{1}{4})$ is single $(-1, \frac{1}{4})$ in       | di precon $\beta, -1) \in$ metrica e garantisce riustifichi i | dizion $\mathbb{R}^{n \times n}$ definit la con | amen<br>a pos                                 | to<br>itiva.<br>nza pi | Si dete<br>ù rapid | rmini grafic<br>la del metoc |
| dipendente da un parametro $\beta$ mente tramite Matlab <sup>®</sup> il valo a $\mathbf{x}$ . Indicato con $\beta^*$ tale valor | $P = \text{tridi}$ B tale per cui  ore di $\beta \in [2]$ re, lo si ripor      | matrice $(-1, \frac{1}{4})$ is single $(-1, \frac{1}{4})$ in $(-1, \frac{1}{4})$ in $(-1, \frac{1}{4})$ in $(-1, \frac{1}{4})$ is single $(-1, \frac{1}{4})$ in       | di precon $\beta, -1) \in$ metrica e garantisce riustifichi i | dizion $\mathbb{R}^{n \times n}$ definit la con | amen<br>a pos                                 | to<br>itiva.<br>nza pi | Si dete<br>ù rapid | rmini grafic<br>la del metod |
| dipendente da un parametro $\beta$ mente tramite Matlab <sup>®</sup> il valo a $\mathbf{x}$ . Indicato con $\beta^*$ tale valor | $P = \text{tridi}$ B tale per cui  ore di $\beta \in [2]$ re, lo si ripor      | matrice $(-1, \frac{1}{4})$ is single $(-1, \frac{1}{4})$ in $(-1, \frac{1}{4})$ in $(-1, \frac{1}{4})$ in $(-1, \frac{1}{4})$ is single $(-1, \frac{1}{4})$ in       | di precon $\beta, -1) \in$ metrica e garantisce riustifichi i | dizion $\mathbb{R}^{n \times n}$ definit la con | amen<br>a pos                                 | to<br>itiva.<br>nza pi | Si dete<br>ù rapid | rmini grafic<br>la del metod |
| dipendente da un parametro $\beta$ mente tramite Matlab <sup>®</sup> il valo a $\mathbf{x}$ . Indicato con $\beta^*$ tale valor | $P = \text{tridi}$ B tale per cui  ore di $\beta \in [2]$ re, lo si ripor      | matrice $(-1, \frac{1}{4})$ is single $(-1, \frac{1}{4})$ in $(-1, \frac{1}{4})$ in $(-1, \frac{1}{4})$ in $(-1, \frac{1}{4})$ is single $(-1, \frac{1}{4})$ in       | di precon $\beta, -1) \in$ metrica e garantisce riustifichi i | dizion $\mathbb{R}^{n \times n}$ definit la con | amen<br>a pos                                 | to<br>itiva.<br>nza pi | Si dete<br>ù rapid | rmini grafic<br>la del metod |
| dipendente da un parametro $\beta$ mente tramite Matlab <sup>®</sup> il valo a $\mathbf{x}$ . Indicato con $\beta^*$ tale valor | $P = \text{tridi}$ B tale per cui  ore di $\beta \in [2]$ re, lo si ripor      | matrice $(-1, \frac{1}{4})$ is single $(-1, \frac{1}{4})$ in $(-1, \frac{1}{4})$ in $(-1, \frac{1}{4})$ in $(-1, \frac{1}{4})$ is single $(-1, \frac{1}{4})$ in       | di precon $\beta, -1) \in$ metrica e garantisce riustifichi i | dizion $\mathbb{R}^{n \times n}$ definit la con | amen<br>a pos                                 | to<br>itiva.<br>nza pi | Si dete<br>ù rapid | rmini grafic<br>la del metoc |

| u<br>U | ERCIZIO 2. Si consideri il metodo delle potenze inverse per l'approssimazione dell'autovalor di modulo minimo di una matrice $A \in \mathbb{R}^{n \times n}$ .  (3 punti) Si riporti l'algoritmo delle potenze inverse definendo in modo preciso tutta la notazion itilizzata.       |
|--------|--------------------------------------------------------------------------------------------------------------------------------------------------------------------------------------------------------------------------------------------------------------------------------------|
|        |                                                                                                                                                                                                                                                                                      |
|        |                                                                                                                                                                                                                                                                                      |
|        |                                                                                                                                                                                                                                                                                      |
|        |                                                                                                                                                                                                                                                                                      |
|        |                                                                                                                                                                                                                                                                                      |
|        |                                                                                                                                                                                                                                                                                      |
|        |                                                                                                                                                                                                                                                                                      |
|        |                                                                                                                                                                                                                                                                                      |
|        |                                                                                                                                                                                                                                                                                      |
|        |                                                                                                                                                                                                                                                                                      |
|        | ione dell'algoritmo delle potenze inverse? Perché?                                                                                                                                                                                                                                   |
|        |                                                                                                                                                                                                                                                                                      |
| (      | (3 punti) Si consideri la seguente matrice                                                                                                                                                                                                                                           |
|        | $A = \begin{bmatrix} -5 & 1 & 1 \\ 1 & 3 & 1 \\ 0 & 2 & 4 \end{bmatrix}.$                                                                                                                                                                                                            |
|        |                                                                                                                                                                                                                                                                                      |
| g      | Si utilizzino opportunamente i criteri dei cerchi di Gershgorin per la localizzazione geometrica de gli autovalori $\{\lambda_i(A)\}_{i=1}^3$ di $A$ per stimarne la posizione nel piano complesso. Si motivi la rispos lata con l'ausilio di opportuni grafici e risultati teorici. |
| g      | gli autovalori $\{\lambda_i(A)\}_{i=1}^3$ di A per stimarne la posizione nel piano complesso. Si motivi la rispos                                                                                                                                                                    |

12 punti



## Parte II - Pre Test

1. (2 punti) Siano assegnati i nodi equispaziati  $x_0, x_1, \ldots, x_5$  nell'intervallo [0,5] e i corrispondenti valori  $y_0 = 1, y_1 = 3, y_2 = 3, y_3 = 1, y_4 = 0$  e  $y_5 = 0$ . Si consideri il polinomio di Lagrange  $\Pi_5(x)$  interpolante tali dati ai precedenti nodi e si riporti il valore di  $\Pi_5(2.5)$ .



$$\Pi_5(2.5) = 2,0625$$

2. (2 punti) Si consideri l'interpolante polinomiale lineare a tratti  $\Pi_1^H f(x)$  della funzione  $f(x) = \cos(10 x)$  nell'intervallo I = [0,5]. Senza costruire esplicitamente  $\Pi_1^H f(x)$ , si stimi il numero n di sottointervalli equispaziati di [0,5] tali per cui l'errore di interpolazione è inferiore alla tolleranza  $tol = 10^{-4}$ .

$$n \ge 1768$$

3. (1 punto) Sia  $f(x) = 1 + \sin(8x)$ . Si approssimi  $\int_{-2}^{2} f(x) dx$  con la formula semplice del punto medio e si riporti l'approssimazione  $I_{PM}(f)$  ottenuta.

$$I_{PM}(f) = 4$$

**4.** (1 punto) Si consideri la funzione  $f(x) = 4x^2 - 1$ . Si riporti l'errore associato all'approssimazione di  $f'(\overline{x})$  in un generico punto  $\overline{x} \in \mathbb{R}$  mediate le differenze finite in avanti, ovvero  $E_+f(\overline{x}) = f'(\overline{x}) - \delta_+f(\overline{x})$ , usando il passo h = 1/6.

$$E_+f(\overline{x}) = -\frac{2}{3} = -0,666667$$

5. (1 punto) Si consideri il seguente problema di Cauchy:

$$\begin{cases} y'(t) = -\sqrt{y(t)} + 9 \cos t & t \in (0,9], \\ y(0) = 4. \end{cases}$$

Utilizzando il metodo di Eulero in avanti (Eulero Esplicito) con passo h = 1/5 e  $u_0 = 4$  si calcoli  $u_1$ , ovvero l'approssimazione di  $y(t_1)$ .

$$u_1 = \frac{27}{5} = 5.4$$

6. (2 punti) Si consideri il seguente problema di Cauchy:

$$\begin{cases} y'(t) = -2y(t) - 5\sqrt{t} & t \in (0,10], \\ y(0) = 4. \end{cases}$$

Utilizzando il metodo di Crank-Nicolson con passo h=1/4 e  $u_0=4$  si calcoli  $u_1$ , ovvero l'approssimazione di  $y(t_1)$ .

$$u_1 = \frac{43}{20} = 2,15$$

| $\begin{cases} \mathbf{y}'(t) = A\mathbf{y}(t) & t \in (0, +\infty), \\ \mathbf{y}(0) = (3\ 1)^T. \end{cases}$ dove $A = \begin{bmatrix} -9 & 0 \\ 13 & -6 \end{bmatrix}$ . Si riporti la condizione di assoluta stabilità del metodo di Heun per il precedente problema di Cauchy. $ 0 < h < \tfrac{2}{9} = 0,222222 $ |            |
|-------------------------------------------------------------------------------------------------------------------------------------------------------------------------------------------------------------------------------------------------------------------------------------------------------------------------|------------|
| Parte II - Esercizi                                                                                                                                                                                                                                                                                                     | -          |
| ESERCIZIO 1.  (a) (2 punti) Si descriva la formula di quadratura dei trapezi composita per l'approssimazione dell'integrale $I(f) = \int_a^b f(x) dx$ ; si definisca tutta la notazione utilizzata e si fornisca l'interpretazione grafica della formula.                                                               | e 10 punti |
|                                                                                                                                                                                                                                                                                                                         |            |
|                                                                                                                                                                                                                                                                                                                         |            |
|                                                                                                                                                                                                                                                                                                                         |            |
|                                                                                                                                                                                                                                                                                                                         |            |
| (b) (3 $punti$ ) Si definiscano l'ordine di accuratezza $p$ e il grado di esattezza $r$ di una generica formula di quadratura (composita).                                                                                                                                                                              | ı          |
|                                                                                                                                                                                                                                                                                                                         |            |

7. (1 punto) Si consideri il seguente problema di Cauchy:

|   | Inoltre, per la formula di quadratura dei trapezi composita, si riportino i valori di $p$ e $r$ ; si giust fichino con precisione le risposte date.                                                                                                                                                                                                                                                                                                                                                                                                                                                      |
|---|----------------------------------------------------------------------------------------------------------------------------------------------------------------------------------------------------------------------------------------------------------------------------------------------------------------------------------------------------------------------------------------------------------------------------------------------------------------------------------------------------------------------------------------------------------------------------------------------------------|
| Γ |                                                                                                                                                                                                                                                                                                                                                                                                                                                                                                                                                                                                          |
|   |                                                                                                                                                                                                                                                                                                                                                                                                                                                                                                                                                                                                          |
|   |                                                                                                                                                                                                                                                                                                                                                                                                                                                                                                                                                                                                          |
|   |                                                                                                                                                                                                                                                                                                                                                                                                                                                                                                                                                                                                          |
|   |                                                                                                                                                                                                                                                                                                                                                                                                                                                                                                                                                                                                          |
|   |                                                                                                                                                                                                                                                                                                                                                                                                                                                                                                                                                                                                          |
|   |                                                                                                                                                                                                                                                                                                                                                                                                                                                                                                                                                                                                          |
| ( | $I(f) = \int_0^1 3x^2(1+x^2)dx$ mediante la formula di quadratura dei trapezi composita con $M\geq 1$ sottointervalli equispazia di $[0,1]$ . Si calcolino e si riportino i valori approssimati $I_M(f)$ dell'integrale utilizzando i valo $M=1$ (formula semplice) e $M=10$ (formula composita).                                                                                                                                                                                                                                                                                                        |
|   | $I_1(f) = \phantom{aaaaaaaaaaaaaaaaaaaaaaaaaaaaaaaaaaa$                                                                                                                                                                                                                                                                                                                                                                                                                                                                                                                                                  |
| 1 | Per il caso $M=10$ si riporti il valore dell'errore <i>stimato</i> , ovvero $\widetilde{E}_{10}(f)$ .                                                                                                                                                                                                                                                                                                                                                                                                                                                                                                    |
|   | $\widetilde{E}_{10}(f) \leq \phantom{AAAAAAAAAAAAAAAAAAAAAAAAAAAAAAAAAAA$                                                                                                                                                                                                                                                                                                                                                                                                                                                                                                                                |
|   | $=10(f)=\frac{200}{200}$                                                                                                                                                                                                                                                                                                                                                                                                                                                                                                                                                                                 |
| ] | $(2 \ punti)$ Si consideri ora la formula di quadratura di Gauss-Legendre (semplice) con $n+1$ no per approssimare l'integrale $I(f)$ di cui al punto (c); si indichi con $I_n^G(f)$ il valore approssimate dell'integrale corrispondente. Si usi tale formula nel caso $n=1$ sapendo che nell'intervallo riferimento $\widehat{I}=[-1,1]$ i nodi di quadratura sono $\widehat{y}_0=-\frac{1}{\sqrt{3}}$ e $\widehat{y}_1=+\frac{1}{\sqrt{3}}$ , mentre i pesi di quadratura sono $\widehat{\alpha}_0=\widehat{\alpha}_1=1$ . Si riporti il valore dell'integrale così approssimato, ovvero $I_1^G(f)$ . |
|   | $I_1^G(f) = \underline{\frac{19}{12} = 1,583333}$                                                                                                                                                                                                                                                                                                                                                                                                                                                                                                                                                        |
|   |                                                                                                                                                                                                                                                                                                                                                                                                                                                                                                                                                                                                          |
| ( | Qual è il grado di esattezza $r$ di tale formula?                                                                                                                                                                                                                                                                                                                                                                                                                                                                                                                                                        |

|                                       | $\begin{cases} -u''(a) = \\ u(a) = \\ u(b) = \end{cases}$ | $f(x) + \sigma u(x) = f(x)$ $= \alpha,$ $= \beta,$ | ) in $(a,b)$ ,                                                | (1)                                                                           |
|---------------------------------------|-----------------------------------------------------------|----------------------------------------------------|---------------------------------------------------------------|-------------------------------------------------------------------------------|
| second'ordine) si $i = 0, \dots, N+1$ | rossimi il problema<br>u una griglia di $N$               | +2 nodi equispaz $a)/(N+1)$ . Si rip               | riati $\{x_i\}_{i=0}^{N+1}$ , con $x_0$ ortino le equazioni d | enze finite centrate (del $= a, x_i = x_0 + i h$ per el sistema risultante in |
|                                       |                                                           |                                                    |                                                               |                                                                               |
|                                       |                                                           |                                                    |                                                               |                                                                               |
|                                       |                                                           |                                                    |                                                               |                                                                               |
|                                       |                                                           |                                                    |                                                               |                                                                               |
|                                       |                                                           |                                                    |                                                               |                                                                               |
| sistema lineare                       |                                                           | l'espressione dei                                  |                                                               | al punto (a), ovvero il rice $A$ , del vettore del                            |

12 punti

| c) | (1 punto) Si considerino ora i seguenti dati per il problema (1): $\sigma = 2$ , $f(x) = 7(2+\pi^2)x\sin(\pi x) + \pi^2$                                                                                                                                                                                                                                                                                                    |
|----|-----------------------------------------------------------------------------------------------------------------------------------------------------------------------------------------------------------------------------------------------------------------------------------------------------------------------------------------------------------------------------------------------------------------------------|
|    | 14 $[x - \pi \cos(\pi x)]$ , $a = 0$ , $b = 1$ , $\alpha = 0$ e $\beta = 7$ . Si verifichi che la soluzione esatta del problema è data da $u(x) = 7x(1 + \sin(\pi x))$ ; si riporti la procedura seguita.                                                                                                                                                                                                                   |
|    |                                                                                                                                                                                                                                                                                                                                                                                                                             |
|    |                                                                                                                                                                                                                                                                                                                                                                                                                             |
| d) | (4 punti) Si risolva il problema ai limiti (1) con i dati di cui al punto (c) tramite il metodo descritto al punto (a), ovvero risolvendo il sistema lineare definito al punto (b), per il valore $N=9$ (per risolvere il sistema lineare si utilizzi il comando "back-slash" di Matlab <sup>®</sup> \). Si riportino i valori della soluzione approssimata nei nodi $x_1$ e $x_8$ , ovvero rispettivamente $u_1$ e $u_8$ . |
|    | $u_1 = \underline{\qquad 0.9115512 \qquad \qquad } u_8 = \underline{\qquad 8.92278064 \qquad }$                                                                                                                                                                                                                                                                                                                             |
|    | Si risolva ora il problema per $N=9$ , 19, 39 e 79 e, usando la soluzione esatta $u(x)$ al punto (c), si calcolino e si riportino per ogni $N$ gli errori corrispondenti $E_N=\max_{i=0,\dots,N+1} u_i-u(x_i) $ (si usino almeno 4 cifre decimali in formato esponenziale).                                                                                                                                                 |
|    | per $N = 9$ : $E_N = _{0,03489619}$ per $N = 19$ : $E_N = _{0,00869535}$                                                                                                                                                                                                                                                                                                                                                    |
|    | per $N = 39$ : $E_N = _{0,00217205}$ per $N = 79$ $E_N = _{0,0005429}$                                                                                                                                                                                                                                                                                                                                                      |
| e) | (1 punto) Dopo aver risposto al punto (d), si stimi algebricamente l'ordine di convergenza $p$ del metodo rispetto ad $h$ (ovvero $(b-a)/(N+1)$ ) riportando sinteticamente la procedura seguita.                                                                                                                                                                                                                           |
|    | $p = _{2,0003}$                                                                                                                                                                                                                                                                                                                                                                                                             |
|    |                                                                                                                                                                                                                                                                                                                                                                                                                             |
|    |                                                                                                                                                                                                                                                                                                                                                                                                                             |

| 5 | simata $\{u_i\}_i^I$ | $\underset{i=0}{\overset{N+1}{\underset{i=0}{\sim}}}$ del proble | ma (1) di cui al j | punto (d) nel c       | easo $N = 9$ ? Si | o la soluzione appr<br>illustri e si motivi<br>o rispettivamente $\delta$ | la |
|---|----------------------|------------------------------------------------------------------|--------------------|-----------------------|-------------------|---------------------------------------------------------------------------|----|
|   |                      |                                                                  |                    |                       |                   |                                                                           |    |
|   |                      |                                                                  |                    |                       |                   |                                                                           |    |
|   |                      |                                                                  |                    |                       |                   |                                                                           |    |
|   |                      |                                                                  |                    |                       |                   |                                                                           |    |
|   |                      |                                                                  |                    |                       |                   |                                                                           |    |
|   |                      |                                                                  |                    |                       |                   |                                                                           |    |
| L |                      | $\delta u_{x_0} = \underline{\hspace{1cm}}$                      | 9,1155             | $\delta u_{x_{10}}$ = | =                 | 1                                                                         |    |